УДК 615.37: 616-018.74-008.6

# МОРФОЛОГИЧЕСКИЕ ИЗМЕНЕНИЯ СЕРДЕЧНО-СОСУДИСТОЙ СИСТЕМЫ ПРИ МОДЕЛИРОВАНИИ L-NAME ИНДУЦИРОВАННОЙ ЭНДОТЕЛИАЛЬНОЙ ДИСФУНКЦИИ В ТЕЧЕНИЕ 28 ДНЕЙ

# А.С. БЕЛОУС

Курский государственный медицинский университет

e-mail: a.s.belous@mail.ru

Моделирование L-NAME-индуцированного дефицита оксида азота (внутрибрюшинным введением L-NAME в дозе 12,5 мг/кг в течение 28 дней) у крыс приводило к развитию гипертрофии миокарда и мышечного слоя сосудистой стенки, ишемии почек с типичными для данного состояния изменениями.

Ключевые слова: эндотелий, оксид азота, L-Name.

Эндотелиальная дисфункция (ЭД) — это дисбаланс между сосудорасширяющими и сосудосуживающими медиаторами, который, как правило, характеризуется уменьшением выработки вазодилататоров [2, 6].

Основным патофизиологическим механизмом ишемической болезни сердца (ИБС) является нарушение равновесия между уровнем коронарного кровотока и потребностью миокарда в кислороде. Развитие ишемии резко меняет метаболизм кардиомиоцитов. Снижение их оксигенации вызывает угнетение аэробного синтеза АТФ. Падение запасов АТФ восполняется усилением захвата глюкозы и быстрым истощением запасов гликогена [3, 4, 5].

Согласно последним литературным данным, в развитии и прогрессировании ИБС ЭД может играть более важную роль, чем морфологические, обусловленные атеросклерозом, изменения сосудов [1, 7].

**Целью настоящего исследования** явилось изучение морфологических изменений сердечно-сосудистой системы в результате развития эндотелиальной дисфункции на 28-дневной модели L-NAME-индуцированного дефицита оксида азота.

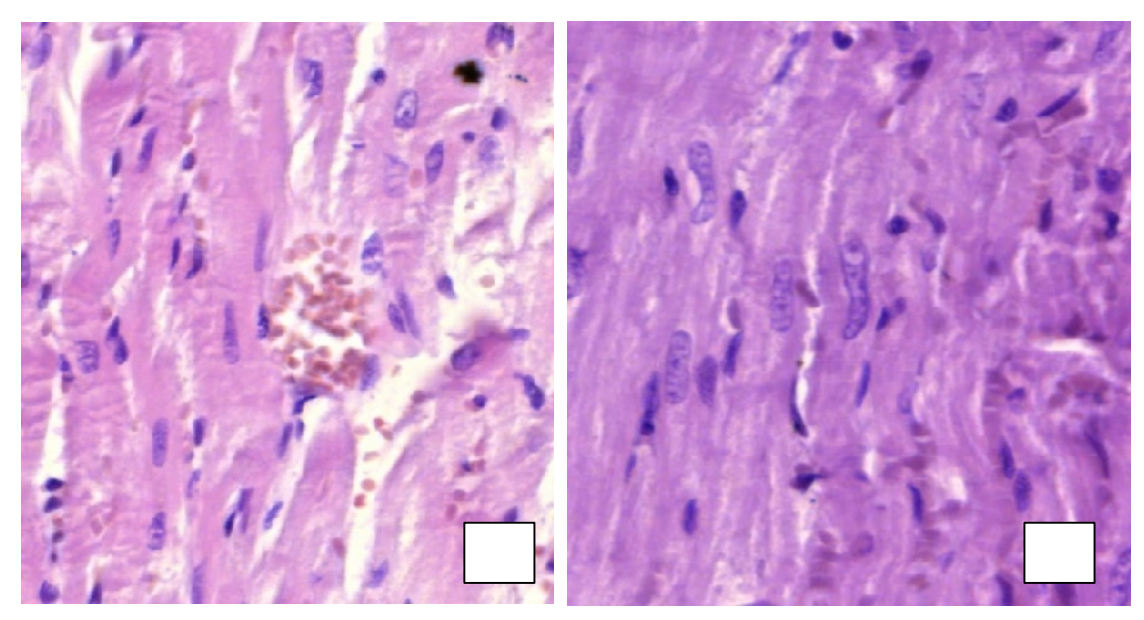
**Методика исследования.** В эксперименте были выделены следующие группы животных: 1) интактные самцы (вводили дистиллированную воду); 2) группа с моделированием дефицита оксида азота (внутрибрюшинное введение L-NAME в дозе 12,5 мг/кг в течение 28 дней).

На 29-й день эксперимента под наркозом (хлоралгидрат 300 мг/кг) для морфологического исследования после выведения животных из эксперимента производили забор материала органов: сердца, почек, надпочечников, участков сонных артерий и брюшной аорты, участка мышцы голени. Материал фиксировали в 10% растворе формалина. После фиксации производили вырезку кусочков для гистологического исследования по следующим методикам. Сердца рассекали через середину во фронтальной плоскости через все отделы в виде пластин толщиной 2 мм, в которых содержались оба предсердия, правый и левый желудочки, межжелудочковая перегородка. Кусочки почек вырезали в поперечном направлении строго через центральную часть, включающую почечный сосочек. Материал фиксирован, вырезан и залит в парафин в одни сроки. Заливку в парафин осуществляли одновременно в автомате карусельного типа STP-120 (Microm Int. GmbH, Германия). Кусочки из одной серии эксперимента заливали в парафин в виде одного блока (по 4-6 кусочков) на EC-350 (Microm Int. GmbH, Германия), что позволяло достигать максимальной стандартизации условий предварительной обработки и последующего изготовления гистологических срезов на полуавтоматическом микротоме с системой транспортировки срезов ЕС-340. Окраску срезов гематоксилином и эозином производили также в автоматическом режиме в автостейнере HMS 740 (Microm Int. GmbH, Германия). Для последующего анализа морфологических изменений и морфометрии микропрепараты сканировали на системе для архивирования и анализа

изображений MiraxDesk (Carl Zeiss MicroImaging GmbH, Германия). Определяли диаметры кардиомиоцитов левого желудочка, кровеносных сосудов, в почках измеряли диаметры почечных клубочков. Просмотр, анализ и морфометрию осуществляли с помощью программы просмотра и анализа изображений Mirax Viewer 1.12.

Достоверность изменений абсолютных параметров определяли разностным методом вариационной статистики с нахождением средних значений сдвигов (М), средней арифметической (±m) и вероятности возможной ошибки (р) по таблицам Стьюдента. Различия оценивали как достоверные при p<0,05. Статистические расчёты проводились с использованием программы Microsoft Excel 7.0.

**Результаты исследования.** Изменения, характерные для L-NAME-индуцированной артериальной гипертензии, выявлены при морфологическом исследовании почек, сердца и сосудов.



Puc. 1. Морфология миокарда у интактных и опытных животных.
 A – гистологическая картина миокарда у интактных крыс на поперечном срезе;
 Б – гипертрофия кардиомиоцитов и их ядер у крысы с артериальной гипертензией в модели с L-NAME на поперечном срезе. Окр. гематоксилином и эозином. Микрофото х400

На 28-е сутки эксперимента наблюдались выраженные изменения миокарда. Сердце макроскопически с плотными стенками, абсолютная и относительная масса его увеличены до 1047±95 мг (в контроле 930±50 мг) и 3,79 мг/г соответственно. Наблюдается равномерная гипертрофия стенок желудочков. Отмечена гипертрофия кардиомиоцитов левого желудочка до 15,14±0,33 мкм (в норме 9,91±0,17 мкм), сосудистые изменения в виде спастического состояния артериол, утолщения их стенок (рис. 1). При окраске гематоксилином Рего выявлялись очаговые сегментарные или тотальные повреждения кардиомиоцитов контрактурного типа.

При микроскопии в ишемизированных почках выявлены типичные для данного состояния изменения. Наблюдались клиновидные участки некроза, атрофии паренхимы с коллапсом стромы, ее лимфоидной инфильтрацией.

Выраженные диффузные изменения почечных телец в виде сморщивания, гиалиноза и склероза, гиалиноз и склероз артерий. Эпителий канальцев уплощен, на значительных участках десквамирован. Практически все канальцы заполнены плотными гиалиновыми цилиндрами.

В контрлатеральных почках наблюдались закономерные компенсаторные изменения в виде гипертрофии почечных телец (средний диаметр  $85,0\pm0,7$ ; в норме  $72,3\pm0,8$  мкм) с расширением полости капсулы, составившей 19,3% площади (в норме 13,8%), что в сочетании с диффузным полнокровием свидетельствует о развитии гиперфильтрации. Со стороны канальцев наблюдалось умеренное расширение,

p

Н И ст

a Я Д И СТ p o

ф И я,

В П p ocве те e Д

> И Н

И ч Н Ы X К

a

Н a Л Ь Ц  $e^{B}$ 

И

M

e Л И СЪ Г

И

a

Л

И Н 0 В

Ы

Комплекс изменений в сердце и почках позволяет оценить как

соответствующие периоду стойкого повышения артериального давления с развитием поражения сосудов.

Таким образом, результаты гистологических исследований обнаружили, что

моделирование L-NAME-индуцированного дефицита NO на 28-е сутки приводит к яркой гипертрофии миокардиоцитов, утолщению мышечного слоя сосудистой стенки и спазму артериол, наиболее выраженному в почечных артериях, а также

«вздыбливанию» эндотелиоцитов.

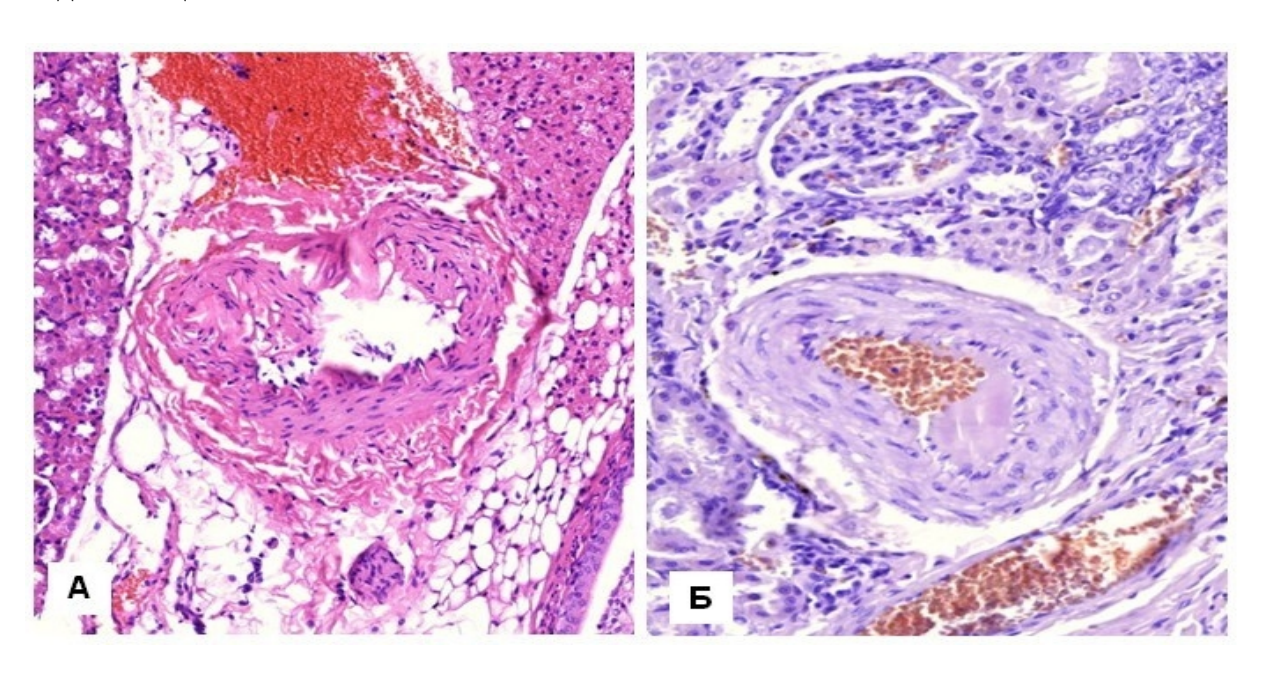


Рис. 2. Морфологическая картина крупных почечных артерий у интактных и опытных животных.

А – неизмененная артерия почки у интактной крысы; Б – перестройка стенки почечной артерии с резким утолщением ее стенки и сужением просвета, гиперплазией эластических структур и гипертрофией гладкомышечных элементов у крысы с артериальной гипертензией в модели с L-NAME. Окр. гематоксилином и эозином. Микрофото х400

Комплекс изменений в сердце и почках позволяет оценить их как соответствующие периоду стойкого повышения артериального давления с развитием поражения сосудов.

Таким образом, результаты гистологических исследований обнаружили, что моделирование L-NAME-индуцированного дефицита NO на 28-е сутки приводит к яркой гипертрофии миокардиоцитов, утолщению мышечного слоя сосудистой стенки и спазму артериол, наиболее выраженному в почечных артериях, а «вздыбливанию» эндотелиоцитов.

Результаты проведенного исследования позволяют рекомендовать использование данной модели для оценки степени коррекции эндотелиальной дисфункции и предотвращения развития морфологических изменений со стороны сердечно-сосудистой системы потенциальными эндотелиопротекторами.

> Лит epa

```
1 участием (Сочи, 14-16 мая 2002 г.). - М.: Акад. естествознания,
. 2002. – 103 c.
         2. Роль оксида азота и свободных радикалов в патогенезе артериальной
Ггипертензии / Е.Б. Манухина, Н.П. Лямина, П.В. Долотовская и др. // Кардиология.
0- 2002. - T. 42, № 11. - C. 73-84.
e
o
c
Т
<sup>a</sup>110
                                                           . 2012. 4 (123). 17/1
И
И
Н
ф
ē
к
Ц
И
o
Н
Н
Ы
й
П
p
o
Ц
e
\mathbf{c}
\mathbf{c}
:
Т
e
3
Д
o
К
Л
Ι
I
I
o
б
Щ
e
p
0
\mathbf{c}
к
o
Н
```

междунар.

ф

 $\mathbf{c}$ 



- 3. Age-related changes in the protective effect of chronic administration of L-arginine on postischemic recovery of endothelial function / K. Nakamura, S. Al-Ruzzeh, A.H. Chester et al. // Eur. J. Cardiothorac. Surg. - 2003. - Vol. 23, № 4. - P. 626-632.
- 4. Does severity of ischemic coronary disease correlate with erectile function? / A. Greenstein, J. Chen, H. Miller et al. // Int. J. Impot. Res. – 1997. – Vol. 9, № 3. – P. 123-126.

  5. Drory, Y. Myocardial ischemia during sexual activity in patients with coronary artery disease /
- Y. Drory, I. Shapira, E.Z. Fisman // Am. J. Cardiol. 1995. Vol. 75. P. 835-837.

  6. Luscher, T.F. Vascular protection: current possibilities and future perspectives /
- T.F. Luscher // Int. J. Clin. Pract. 2001. Vol. 117. P. 3-6.
- 7. Wyatt, A.W. Modulation of the L-arginine/nitric oxide signalling pathway in vascular endothelial cells / A.W. Wyatt, J.R. Steinert, G.E. Mann // Biochem. Soc. Symp. - 2004. - Vol.71. -P. 143-156.

# MORPHOLOGICAL CHANGES IN THE CARDIOVASCULAR SYSTEM FOR SIMULATION L-NAME-INDUCED ENDOTHELIAL DYSFUNCTION IN 28 DAYS

# A.S. BELOUS

# Kursk State Medical University e-mail: a.s.belous@mail.ru

Modelling of L-NAME – induced deficiency of nitric oxide (intraperitoneal administration of L-NAME at a dose of 12.5 mg / kg for 28 days) in rats led to the development of myocardial hypertrophy and the muscle layer of the vascular wall, renal ischemia with typical for this state change.

Key words: endothelium, nitric oxide, L-Name.